

MoO₄²⁻对2205双相不锈钢氢脆敏感性的影响

郑传波 唐祝君 申小兰

江苏科技大学材料科学与工程学院 镇江 212003

摘要:采用电化学阻抗谱研究了钼酸盐在双相不锈钢表面的吸附行为,进而研究钼酸盐对2205双相不锈钢氢渗透行为的影响。结果表明,MoO₄²⁻通过吸附,在试样表面形成一层表面阻挡膜;MoO₄²⁻能够抑制H原子在双相不锈钢表面的吸附,降低表面的H数量以及氢的浓度梯度,使H原子在双相不锈钢中的扩散驱动力减小,降低氢原子在双相不锈钢中的扩散速率和双相不锈钢的氢脆敏感性。

关键词:双相不锈钢 MoO₄²⁻ 电化学阻抗 氢渗透 氢脆敏感性

中图分类号: TG172 文献标识码: A 文章编号: 1002-6495(2015)06-0590-05

Effect of Molybdate Ion on Hydrogen Embrittlement of 2205 Duplex Stainless Steel

ZHENG Chuanbo, TANG Zhujun, SHEN Xiaolan

School of Materials Science and Engineering, Jiangsu University of Science and Technology, Zhenjiang 212003, China

Abstract: In this paper, electrochemical impedance has been used to investigate the adsorption of MoO₄²⁻ on the surface of 2205 duplex stainless steel (DSS), and further, the effect of MoO₄²⁻ on hydrogen permeation behavior of DSS has been investigated. The results revealed that molybdate ion formed a film on the steel surface by adsorption, which could act as a barrier for the adsorption of H atom, thereby, the hydrogen diffusion rate was declined; the susceptibility to hydrogen embrittlement of 2205 DSS in sodium chloride solution was decreased by the presence of molybdate ion.

Key words: duplex stainless steel, molybdate ion, electrochemical impedance, hydrogen permeation, hydrogen embrittlement susceptibility

1 前言

H给材料带来的损伤是非常有害的,往往是没有前兆的。氢致损伤的形式又有许多种:氢脆(氢致塑性损失),氢诱发裂纹,高温氢腐蚀以及氢致马氏体开裂等。其中最突出的就是材料的氢脆。如果材料发生氢脆,则材料在较低的应力条件下就会发生开裂、断裂,甚至爆炸等危害人身安全的事故,所以控制和预防氢脆是非常有必要的。

影响氢脆的因素有很多,包括内在原因(材料

本身)和外在原因(如阴极保护)。其中内在原因具体指,材料的微观组织,位错,晶格间隙等,这些因素能够影响H在材料中的扩散^[1]。文献^[2,3]指出H在铁素体中的扩散率高于其在奥氏体中的扩散率;文献^[4,5]提出双相不锈钢中的奥氏体是H的陷阱,可以阻碍H的扩散;一些析出相,如MnS, Al₂O₃也可以作为H陷阱,阻碍H的扩散^[6];并且,奥氏体的形态也会影响H的扩散,如文献^[7,8]指出,粗大的奥氏体阻碍H扩散的能力比细小的奥氏体阻碍H扩散的能力弱。

H在材料中的扩散驱动力主要为氢浓度梯度,H会从高浓度区向浓度低区扩散^[9]。目前,大多数的研究集中于材料组织对H渗透行为的影响,而对于阻碍H吸附来改变H渗透行为的研究较少。环境中产生的H会吸附于材料表面,通过扩散进入材料的

定稿日期: 2015-01-19

基金项目: 江苏省自然科学基金项目 (BK20141292) 资助

作者简介: 郑传波,男,1980年生,博士,副教授

通讯作者: 郑传波, E-mail: chuanbo.zheng@gmail.com, 研究方向为金属材料腐蚀防护及电化学

DOI: 10.11903/1002.6495.2014.396

内部,破坏材料的力学性能。文献^[10]中指出 MoO_4^{2-} 通过与 Cl^- 竞争吸附来延缓点蚀的发生。但是,关于 MoO_4^{2-} 对氢渗透的影响的研究尚未有相关报道。本文以 2205 双相不锈钢为研究对象,利用电化学阻抗研究了 MoO_4^{2-} 在试样表面的吸附行为;并借助氢渗透曲线,研究了 MoO_4^{2-} 对 2205 双相不锈钢氢渗透行为的影响。

2 实验方法

本实验所用材料为 SAF2205 双相不锈钢棒材,直径为 40 mm,其成分为 C 0.014%, S 0.023%, S 0.001%, Cr 22.39%, Ni 5.68%, N 0.17%, Mo 3.13%, Mn 1.38%, Si 0.39%、其余为 Fe。对实验所用 2205 双相不锈钢棒材进行 950 °C 保温 30 min,水冷的固溶处理。

电化学阻抗实验温度为室温,溶液介质为 0.1 mol/L NaCl 溶液和含不同浓度 Na_2MoO_4 (0.005, 0.05 和 0.2 mol/L) 的 0.1 mol/L NaCl 混合溶液。激励信号为幅值 5 mV 的正弦波,测量频率为 $10^5 \sim 10^{-2}$ Hz。利用 ZSimpWin 软件进行阻抗拟合。阻抗实验的目的是研究 MoO_4^{2-} 的吸附。

将固溶处理后的 2205 双相不锈钢切成厚度为 0.8 mm 的圆片试样,并用砂纸打磨两侧表面至厚度为 0.3 mm,抛光后,在试样边缘焊上铜导线,再用丙酮超声波清洗并吹干,制成氢渗透试样。将清洗干净的氢渗透试样进行单面的表面镀镍,电镀液的成分为 250 g/L NiSO_4 + 45 g/L NiCl_2 + 40 g/L H_3BO_3 ,镀镍温度为 20 °C 左右,电流密度为 10 mA/cm²,镀镍时间 300 s。

氢渗透装置采用 D-S 双电解池,其中一侧为阴极充氢槽,一侧为阳极槽,镀镍面与阳极槽溶液接触。阳极槽内溶液为 0.2 mol/L NaOH 溶液,阴极充氢槽内溶液为 0.2 mol/L H_2SO_4 溶液 + 0.4 g 硫脲。所用参比电极为 Hg/HgO 参比电极,辅助电极为铂电极。充氢时,阳极槽内加入 0.2 mol/L NaOH 溶液,同时给定 0.2 V (相对于参比电极) 的电位。待背景电流密度降至很低 ($\leq 1.2 \mu\text{A}$) 后,向阴极充氢槽内加入 0.2 mol/L H_2SO_4 溶液 + 0.4 g 硫脲,并通阴极充氢电流 (为 5 mA/cm²)。

慢应变速率拉伸的速率为 $1 \times 10^{-6} \text{ s}^{-1}$,溶液介质分别为 0.2 mol/L H_2SO_4 溶液、0.2 mol/L H_2SO_4 + 0.05 mol/L Na_2MoO_4 溶液,实验温度为室温。

3 结果与讨论

3.1 MoO_4^{2-} 对电化学阻抗谱 (EIS) 的影响

图 1 为室温下,2205 双相不锈钢在 0.1 mol/L NaCl 溶液和不同浓度 MoO_4^{2-} 与 0.1 mol/L NaCl 溶液的混合

溶液中的 Nyquist 图 (图 1a) 和 Bode 图 (图 1b)。

在图 1a 中,2205 双相不锈钢在 0.1 mol/L NaCl 溶液中的电化学阻抗谱存在两个分别处于高频和低频的容抗弧,高频容抗弧表示电化学过程存在电荷转移的过程,低频容抗弧说明双相不锈钢表面存在一层钝化膜^[11]。向溶液中加入 Na_2MoO_4 后,高频容抗弧变化不明显,低频容抗弧变化明显,说明 MoO_4^{2-} 对双相不锈钢的表面钝化膜有较大的影响。从图 1b 中可以看出,双相不锈钢在 0.1 mol/L NaCl 溶液和含有不同浓度 MoO_4^{2-} 的 0.1 mol/L NaCl 溶液中的 Bode 图中都存在两个时间常数,且 MoO_4^{2-} 影响 Bode 图的相位角峰值,以及阻抗模值。以上现象表明, MoO_4^{2-} 能够改变工作电极的表面状态。在自钝化状态下,双相不锈钢形成的表面氧化膜是不均匀且存在缺陷的^[12]。钝化膜的不完整性导致电化学界面被分成两个部分:电解质与 MoO_4^{2-} 的界面以及电解质与不锈钢的界面^[13]。

图 2 为阻抗等效电路图,图 2 中, R_1 为溶液电阻, R_2 为电荷转移电阻, R_3 为膜电阻, C_{dl} 为双电层电容, C_f 为膜电容。 R_3 和 C_f 描述 MoO_4^{2-} 的吸附行为。 R_2 和 C_{dl} 描述的是电荷转移过程。

室温下,双相不锈钢在不同溶液中的等效电路参数值如图 3 所示。图 3a 中,随着溶液中 MoO_4^{2-} 浓

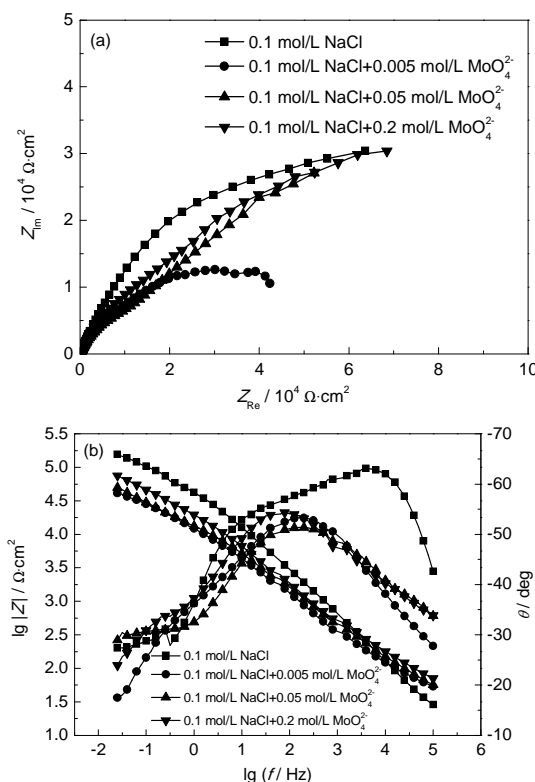


图 1 2205 双相不锈钢在含有不同浓度 MoO_4^{2-} 的 0.1 mol/L NaCl 溶液中的 Nyquist 图和 Bode 图

Fig.1 Nyquist (a) and Bode (b) curves of 2205DSS in 0.1 mol/L NaCl with different concentration of MoO_4^{2-}

度的升高, R_2 值升高, 这与双相不锈钢表面发生电化学反应的阻力变大有关; 随着 MoO_4^{2-} 浓度的升高, C_{dl} 的值先升高后下降。当溶液中的 MoO_4^{2-} 浓度较低时, C_{dl} 的值升高, 说明暴露于电解质溶液中的试样面积变大或者双电层间距变小。从图 3b 中可以看出, 随着 MoO_4^{2-} 浓度的升高, 膜电阻的阻抗值先下降后升高, 膜电容 (C_f) 的值先升高后下降。

研究表明^[14], 在 NaCl 溶液中, MoO_4^{2-} 和 Cl^- 存在竞争吸附。 MoO_4^{2-} 与 Cl^- 之间的竞争吸附的关系^[15]如图 4 所示。当 MoO_4^{2-} 浓度较低时 (如图 4a 所示),

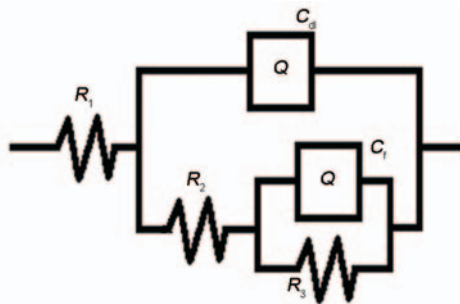


图2 双相不锈钢在溶液中的等效电路图

Fig.2 Equivalent circuit of duplex stainless steel in solution

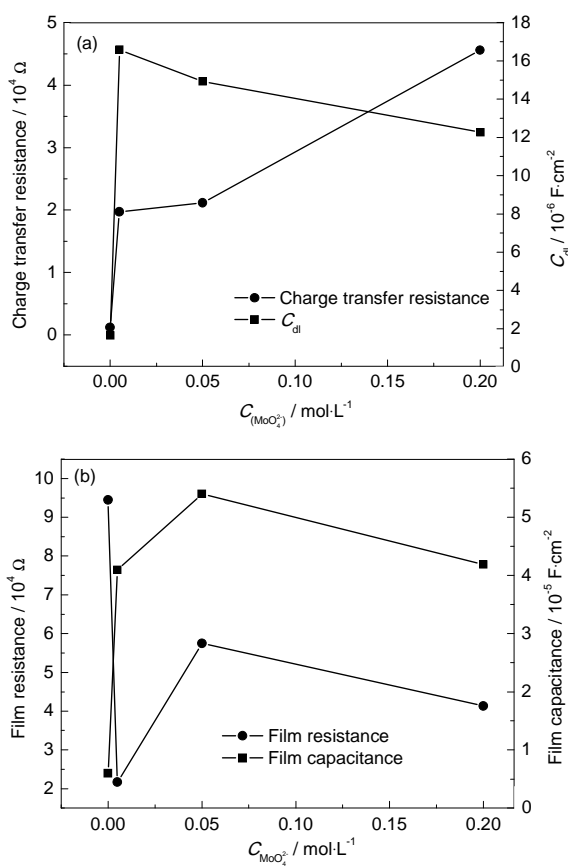


图3 2205 双相不锈钢在不同浓度 MoO_4^{2-} 的溶液中 R_2 和 R_3 的参数值

Fig.3 R_2 (a) and R_3 (b) values of 2205 DSS in 0.1 mol/L NaCl with different concentration of MoO_4^{2-}

MoO_4^{2-} 会导致双相不锈钢表面的 Cl^- 出现局部集中的现象, 导致 Cl^- 浓度局部升高, 促使 Cl^- 对钝化膜的破坏, 加速表面钝化膜的溶解, 使原本存在缺陷的钝化膜的面积变小, 双相不锈钢暴露于电解质溶液中的面积变大, 导致 C_{dl} 的值升高。当 MoO_4^{2-} 的浓度升高时 (如图 4b 和 c), MoO_4^{2-} 为主要吸附离子, 使 Cl^- 脱离双相不锈钢表面, 降低 Cl^- 在双相不锈钢表面的浓度, 减小 Cl^- 破坏钝化膜的可能性, 使 C_{dl} 的值下降。

图 3b 中相关值的变化趋势表明, 在自腐蚀状态下, 当 MoO_4^{2-} 浓度较低时, MoO_4^{2-} 的引入使钝化膜厚度变小 (C_f 值升高) 且膜阻抗降低, 加快腐蚀的速度; 当 MoO_4^{2-} 浓度较高时, MoO_4^{2-} 的吸附使试样表面膜厚度变大 (C_f 值下降) 且膜阻抗值上升, 腐蚀速度减缓。

EIS 的结果表明, 在含有低浓度的 MoO_4^{2-} 的溶液中, MoO_4^{2-} 会促进电化学反应进行; 而当 MoO_4^{2-} 浓度较高时 (高于 0.05 mol/L), MoO_4^{2-} 能够吸附于双相不锈钢表面, 形成一层表面阻挡膜。

3.2 MoO_4^{2-} 对 2205 双相不锈钢在硫酸中氢渗透行为的影响

950 °C/30 min 固溶处理的双相不锈钢在不同溶液中的氢渗透曲线如图 5 所示。

从图 5 中可以看出, 硫酸溶液中的氢渗透曲线存在 H^+ 电流密度, 说明有 H 原子从双相不锈钢中透过, 且 H 原子在双相不锈钢薄片试样另一端被氧化

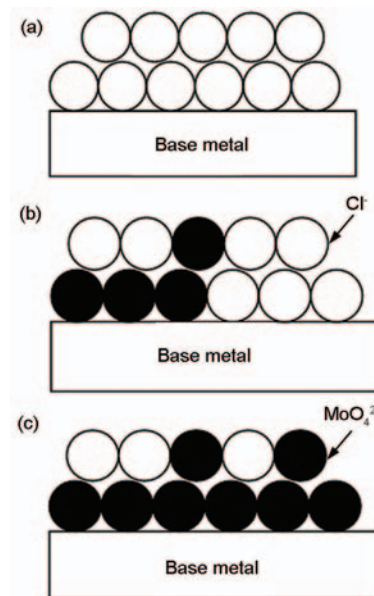


图4 含不同浓度 MoO_4^{2-} 的 0.1 mol/L NaCl 溶液中两种离子的吸附示意图

Fig.4 Schematic diagram of ion adsorption in 0.1 mol/L NaCl with different concentration of MoO_4^{2-} (a) Cl^- adsorption; (b) Cl^- and MoO_4^{2-} competition adsorption; (c) MoO_4^{2-} adsorption

成 H^+ ; 相同的测量时间内, 甚至当充氢时间为 50 h 时, 在含有 MoO_4^{2-} 的硫酸溶液中, 未见 H^+ 电流密度, 说明此时 H 原子未能从双相不锈钢薄片的一端穿透至薄片的另一端。从以上结果可以看出, 在硫酸溶液中, MoO_4^{2-} 阻碍氢原子透过双相不锈钢, 降低 H 原子在双相不锈钢中的扩散速率。

影响双相不锈钢氢扩散的因素包括内在原因(材料本身)和外在原因(如阴极保护, 环境)。内在原因具体指, 材料的微观组织, 位错, 晶格间隙等, 这些因素能够影响 H 在材料中的扩散^[16]。图 5 中的现象说明, MoO_4^{2-} 对 2205 双相不锈钢在硫酸溶液中的 H 渗透行为产生影响。由阴极充氢产生的一部分 H 原子结合生成 H_2 逸出溶液, 另一部分以原子态的形式吸附于双相不锈钢表面, 进而渗入试样中。一方面, EIS 结果表明, 溶液中的 MoO_4^{2-} 能够吸附于双相不锈钢表面, 形成一层阻挡膜, 使 H 原子可吸附位置减少, 降低双相不锈钢表面氢原子的数量, 导致双相不锈钢表面的 H 原子浓度降低; 另一方面, 由反应式^[17,18]:



可知, MoO_4^{2-} 在酸性溶液中会发生缩聚反应生成同多酸盐和 H_2O 。 H 在双相不锈钢中的扩散的驱动力为 H 原子浓度梯度, MoO_4^{2-} 的吸附降低双相不锈钢表面的 H 原子浓度, 使氢原子浓度梯度下降, 导致 H 原子在双相不锈钢中的扩散驱动力下降, 使氢在双相不锈钢中的扩散速率降低。

因此, MoO_4^{2-} 降低 H 扩散速率的主要方式是钼酸根离子或其反应产物(同多酸盐)与 H 原子竞争吸附, 于试样表面形成一层阻挡膜, 阻碍 H 原子的吸附。

950 °C/30 min 固溶处理的 2205 双相不锈钢在

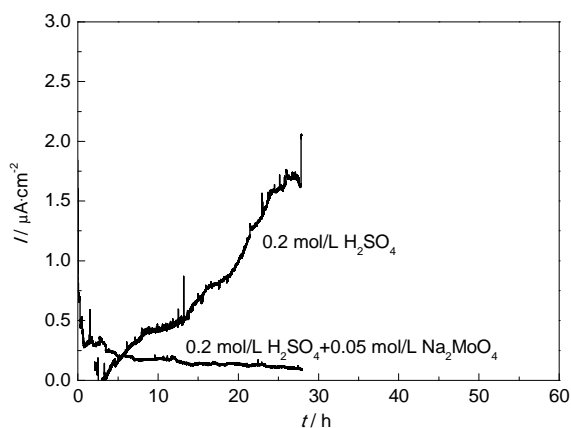


图 5 MoO_4^{2-} 加入前后, 经 950 °C/30 min 固溶处理的双相不锈钢的氢渗透曲线

Fig.5 Hydrogen permeation curves of 950 °C/30 min solution treated DSS before and after addition of MoO_4^{2-}

0.2 mol/L H_2SO_4 溶液、0.2 mol/L H_2SO_4 + 0.05 mol/L Na_2MoO_4 溶液中的慢应变速率拉伸曲线如图 6 所示。慢应变速率拉伸断裂后, 试样的断面收缩率和延伸率的值如表 1 所示。不同溶液中, 950 °C/30 min 固溶处理的 2205 双相不锈钢在不同溶液中的断口形貌如图 7 所示。

从表 1 中可以看出, 950 °C/30 min 固溶处理的 2205 双相不锈钢在空气中的断面收缩率和延伸率分别为 62.2% 和 42.5%; 在 0.2 mol/L H_2SO_4 溶液中, 断面收缩率和延伸率分别降至 31.8% 和 29.9%, 氢脆敏感性较高; 在 0.2 mol/L H_2SO_4 + 0.05 mmol/L Na_2MoO_4 溶液中, 断面收缩率和延伸率分别上升为 56.1% 和 38.5%。可以看出, MoO_4^{2-} 使双相不锈钢的塑性损失变小, 氢脆敏感性降低。从图 7 的断口形貌中可以看出, 向溶液中引入 MoO_4^{2-} 后, 双相不锈钢的断口形貌中韧窝的数量增加且韧窝变细小, 韧性损失降低, 氢脆敏感性降低。

腐蚀产生的 H 原子渗入材料中, 增加材料的氢脆敏感性, 降低材料的耐应力腐蚀性能^[19,20]。 MoO_4^{2-} 加入至溶液中后, 抑制 H 原子在材料表面的吸附, 降低试样表面的 H 原子浓度, 减小 H 原子的浓度梯度,

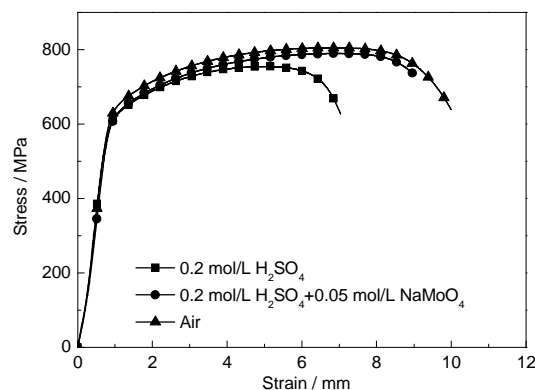


图 6 室温下不同溶液中, 经 950 °C/30 min 固溶处理的双相不锈钢慢应变速率拉伸曲线

Fig.6 Stress-strain curves of 950 °C/30 min solution treated DSS in different solution at room temperature

表 1 室温下不同溶液中, 经 950 °C/30 min 固溶处理的双相不锈钢慢应变速率拉伸性能

Table 1 Values corresponding to stress-strain curves of 950 °C/30 min solution treated DSS in different solution at room temperature

Solution	Reduction of area / %	Elongation / %
Air	62.2	42.5
0.2 mol/L H_2SO_4	31.8	29.9
0.2 mol/L H_2SO_4 + 0.05 mol/L Na_2MoO_4	56.1	38.5

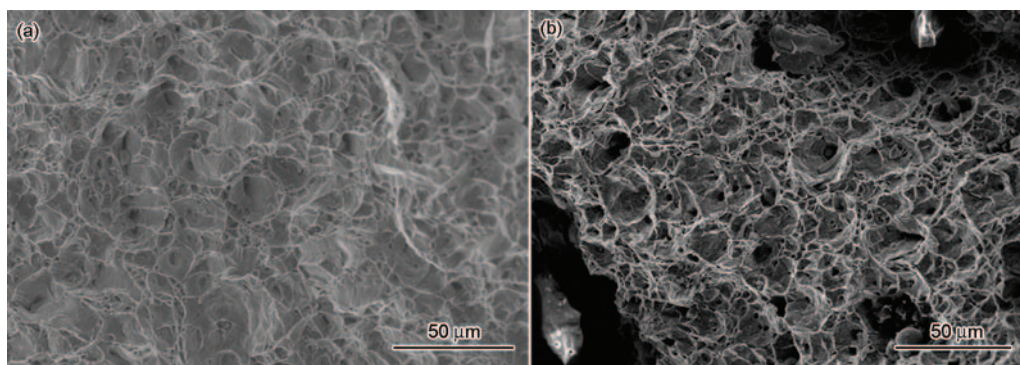


图7 室温下, 不同溶液中, 经 950 °C/30 min 固溶处理的 2205 双相不锈钢的断口形貌

Fig.7 Fracture morphologies of 950 °C/30 min solution treated 2205 DSS in different solutions at 20 °C:

(a) 0.2 mol/L H_2SO_4 , (b) 0.2 mol/L H_2SO_4 +0.05 mmol/L Na_2MoO_4

降低 H 原子扩散的驱动力, 使得 H 原子不易渗入材料中, 降低材料的氢脆敏感性, 改善材料的耐应力腐蚀性能。

4 结论

(1) MoO_4^{2-} 通过吸附, 可以在双相不锈钢表面形成一层与 MoO_4^{2-} 浓度相关的表面膜层。

(2) MoO_4^{2-} 能够抑制 H 原子在双相不锈钢表面的吸附, 降低吸附于表面的氢原子数量, 使 H 原子浓度梯度下降, 降低 H 原子扩散的驱动力, 使 H 原子透过试样的所需时间从 13 h 增至 50 h 以上, 降低 H 原子在双相不锈钢中的扩散速率。

(3) MoO_4^{2-} 与 H 存在竞争吸附, 能够降低双相不锈钢的氢脆敏感性, 改善材料的耐应力腐蚀性能, 使材料的断面收缩率和延伸率分别提高约 24% 和 10%。

参考文献

- [1] Mike J D. Use of the Devanathan-Stachurski cell to measure hydrogen permeation in aluminum alloys [J]. *Corros. Sci.*, 2002, 44(4): 829
- [2] Turnbull A, Hutchings R B. Analysis of hydrogen atom transport in a two phase alloy [J]. *Mater. Sci. Eng.*, 1994, 177(1/2): 161
- [3] Askari A, Das S. Practical numerical analysis of a crack near a weld subjected to primary loading and hydrogen embrittlement [J]. *J. Mater. Process. Technol.*, 2006, 173(1): 1
- [4] Owczarek E, Zakroczyński T. Hydrogen transport in a duplex stainless steel [J]. *Acta Mater.*, 2000, 48(12): 3059
- [5] Zakroczyński T, Owczarek E. Electrochemical investigation of hydrogen absorption in a duplex stainless steel [J]. *Acta Mater.*, 2002, 50(10): 2701
- [6] Girish K P, Hidenori T, Yu-ichi K. Hydrogen distribution and hydrogen cracking susceptibility of a martensitic-austenitic steel welding wire [J]. *Mater. Lett.*, 2014, 136(1): 22
- [7] Solheim K G, Solberg J K, Walmsley J, et al. The role of retained austenite in hydrogen embrittlement of supermartensitic stainless steel [J]. *Eng. Fail. Anal.*, 2013, 34: 140
- [8] Bilmes P D, Solani M, Llorente C L. Characteristics and effects of austenite resulting from tempering of 13Cr-NiMo martensitic steel weld metal [J]. *Mater. Charact.*, 2001, 46(4): 285
- [9] Zakroczyński T, Glowacka A, Swiatnicki W. Effect of hydrogen concentration on the embrittlement of a duplex stainless steel [J]. *Corros. Sci.*, 2005, 47(6): 1403
- [10] Eghbali F, Moayed M H, Davoodi A, et al. Critical pitting temperature (CPT) assessment of 2205 duplex stainless steel in 0.1 M NaCl at various molybdate concentrations [J]. *Corros. Sci.*, 2011, 53(1): 513
- [11] Zhang H, Zhao Y L, Jiang Z D. Effects of temperature on the corrosion behavior of 13Cr martensitic stainless steel during exposure to CO_2 and Cl⁻ environment [J]. *Mater. Lett.*, 2005, 59(27): 3370
- [12] Girault P, Grosseau-poussard J L, Dinhut J F, et al. Influence of a chromium ion implantation on the passive behavior of nickel in artificial seawater: An EIS and XPS study [J]. *Nucl. Instr. Methods Phys. Res.*, 2001, 174(4)B: 439
- [13] Liu C, Bi Q, Matthews A. EIS comparison on corrosion performance of PVD TiN and CrN coated mild steel in 0.5 N NaCl aqueous solution [J]. *Corros. Sci.*, 2001, 43(10): 1953
- [14] Moayed M H, Newman R C. Deterioration in critical pitting temperature of 904L stainless steel by addition of sulfate ions [J]. *Corros. Sci.*, 2006, 48(11): 3513
- [15] 廖家兴, 蒋益明, 吴玮巍等. 含 Cl⁻ 溶液中 SO_4^{2-} 对 316 不锈钢临界点蚀温度的影响 [J]. *金属学报*, 2006, 42(11): 1187
- [16] Vigdis O, Afaf S, Lise J, et al. FE simulation of hydrogen diffusion in duplex stainless steel [J]. *Int. J. Hydrogen Energy*, 2014, 39(6): 1156
- [17] Ilevbare G O, Burstein G T. The inhibition of pitting corrosion of stainless steels by chromate and molybdate ions [J]. *Corros. Sci.*, 2003, 45(7): 1545
- [18] Pardo A, Merino M C, Coy A E, et al. Pitting corrosion behaviour of austenitic stainless steels-combining effects of Mn and Mo additions [J]. *Corros. Sci.*, 2008, 50(6): 1796
- [19] 张体明, 赵卫民, 郭望. 阴极保护下 X65 钢在模拟海水中的氢脆敏感性研究 [J]. *中国腐蚀与防护学报*, 2014, 34(4): 315